

УДК 531.8

## ДВИЖЕНИЯ ЭЛЕКТРОМЕХАНИЧЕСКОГО ШАГАЮЩЕГО АППАРАТА С МИНИМАЛЬНЫМИ ТЕПЛОВЫМИ ПОТЕРЯМИ

БИГИЛЬДЕЕВ С. И., ГОЛУБЕВ Ю. Ф.

В публикуемой работе исследуется задача определения оптимальных периодических режимов поступательного движения корпуса электромеханического шагающего аппарата с невесомыми и безынерционными ногами. За критерий качества принята потеря тепловой энергии в двигателях ног. Численно построены оптимальные периодические движения центра масс шестиногого аппарата, способного передвигаться походками «трешки» и «галоп». Показано, что полученные режимы движения реализуемы при передвижении аппарата по плоскости с коэффициентом трения 0,4 и снижают тепловые потери на 30–40% в сравнении с равномерным и прямолинейным движением при оптимальном распределении реакций. Даны практические рекомендации по организации движения центра масс аппарата.

1. Задача оптимального управления о поиске законов движения шагающего аппарата, минимизирующих тепловые потери, существенно осложнена большим числом степеней свободы соответствующей механической системы и необходимостью учета особенностей взаимодействия концов ног с несущей поверхностью. В настоящее время отсутствуют эффективные методы поиска решения задач такого класса. Принятое в данной работе на начальном этапе исследований предположение о том, что ноги шагающего аппарата не имеют массы, позволило достаточно оперативно построить численный алгоритм определения оптимальных траекторий в рассматриваемой задаче и сформулировать общие рекомендации для рационального выбора программного движения робота.

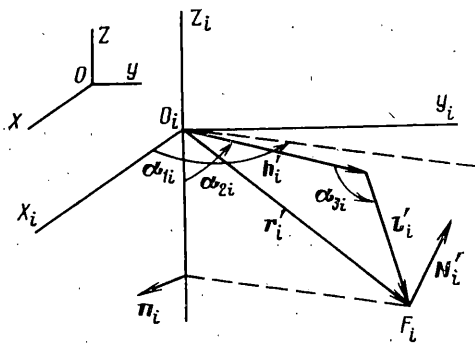
Рассматривается поступательное движение корпуса аппарата по отношению к инерциальной системе координат  $OXYZ$ . Ось  $OX$  этой системы ориентирована в направлении движения шагающего аппарата,  $OZ$  — направлена в сторону, противоположную действию силы тяжести, а  $OY$  дополняет систему координат до правой.

Корпус аппарата представляет собой абсолютно твердое тело веса  $P$ , к которому крепятся  $n$  невесомых и безынерционных ног. Каждая нога состоит из двух стержней: бедра и голени, положение которых определено векторами  $\mathbf{h}'_i$  и  $\mathbf{l}'_i$  ( $i = \overline{1, n}$ ). Указанные стержни соединены одностепенным шарниром, ось которого перпендикулярна плоскости ноги, образованной векторами  $\mathbf{h}'_i$  и  $\mathbf{l}'_i$ . Бедро крепится к корпусу аппарата двухстепенным шарниром в точке подвеса  $O_i$ . Положение ноги относительно корпуса задается углами  $\alpha_{1i}$ ,  $\alpha_{2i}$ ,  $\alpha_{3i}$  (фиг. 1). Угол  $\alpha_{1i}$  характеризует поворот плоскости ноги относительно оси  $O_iZ_i$ , параллельной  $OZ$  и жестко связанной с корпусом аппарата. Углы  $\alpha_{2i}$  и  $\alpha_{3i}$  задают повороты в плоскости ноги соответственно: бедра — относительно корпуса и голени — относительно бедра.

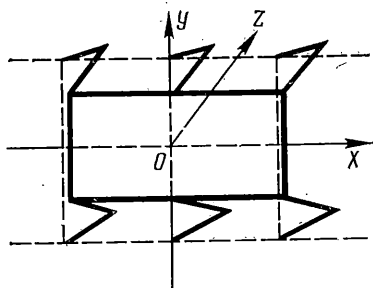
Примем, что изменение каждого из углов  $\alpha_{ji}$  ( $j = \overline{1, 3}$ ;  $i = \overline{1, n}$ ) осуществляется электрическим двигателем постоянного тока с сопротивлением якоря  $R_{ji}$ . Предположим, что в фазе опоры контакт ноги с поверхностью имеет место в одной точке.

Уравнения движения для рассматриваемой модели шагающего аппарата будут иметь вид (здесь и всюду далее суммирование производится по индексу суммирования в пределах от 1 до  $n$ ):

$$\Sigma N'_i = Pr''/G + P, \quad \Sigma [\rho'_i \times N'_i] = 0 \quad (1.1)$$



Фиг. 1



Фиг. 2

где  $r' = (x', y', z')$  — радиус-вектор центра масс в системе  $OXYZ$ ,  $P = (0, 0, P)$ ,  $p_i'$  — радиус-вектор, направленный из центра масс аппарата в точку опоры соответствующей ноги,  $N_i'$  — реакция в точке опоры,  $G$  — ускорение свободного падения; точкой сверху обозначаются производные по времени.

Пусть шаговый цикл походки аппарата задается последовательностью опорных многоугольников, периодом походки  $T'$  [1] и длиной шага  $H$ , равной перемещению центра масс шагающего аппарата вдоль оси  $OX$  за период. Смена опорных многоугольников предполагается мгновенной. Она определяется следовым расписанием [1]. Следовое расписание задается в зависимости от значений проекции центра масс на ось  $OX$ . Потребуем, чтобы в начале и конце цикла походки координаты центра масс аппарата  $y'$  и  $z'$  и все компоненты скорости принимали соответственно равные заданные значения.

Тепловую мощность, выделяющуюся в приводах ног, будем рассчитывать по формуле [2] ( $I_{ji}$  — ток якоря соответствующего двигателя):

$$W' = \sum_{j=1}^3 \left( \sum_{i=1}^3 R_{ji} I_{ji}'^2 \right)$$

Пусть управление работой каждого двигателя осуществляется с помощью изменения тока в обмотке якоря. Тогда в самом общем случае система уравнений динамики двигателя будет состоять из уравнения моментов и уравнения для электромагнитного момента [3].

При отсутствии инерционности привода и сил трения должно быть выполнено условие равенства электромагнитного момента и момента внешней нагрузки. Для двигателя с постоянным потоком возбуждения [4, 5] электромагнитный момент пропорционален току якоря. Таким образом, получим  $I_{ji}' = C_{ji} M_{ji}'$  ( $i=1, n; j=1, 3$ ), где  $M_{ji}'$  — момент внешней нагрузки,  $C_{ji}$  — коэффициент пропорциональности, зависящий от числа пар полюсов двигателя, числа активных проводников и параллельных ветвей обмотки якоря, а также от потока возбуждения.

Примем, что  $C_{ij} = C$ ,  $R_{ji} = R$  для всех  $i=1, n; j=1, 3$ . Пренебрегая зависимостью сопротивления  $R$  от температуры, суммарные тепловые потери  $Q'$  за период  $T'$  будем вычислять по формуле

$$Q' = \int_0^{T'} W' dt' = RC^2 \int_0^{T'} \Sigma (\Sigma M_{ji}'^2) dt'$$

Задавая последовательность опорных многоугольников, период  $T'$ , длину шага  $H$ , следовое расписание  $x_1', \dots, x_n'$ , найдем периодическое движение центра масс аппарата, при котором достигается минимум суммарных тепловых потерь  $Q'$  при заданных следовых колеях [4].

2. Перейдем к безразмерным величинам. Для этого в качестве характерных параметров задачи выберем сопротивление  $R$ , коэффициент пропорциональности  $C$ , вес аппарата  $P$ , длину шага  $H$  и ускорение свобод-

ного падения  $G$ . Для размерных величин будем использовать обозначения со штрихами, а для соответствующих безразмерных величин — без штрихов. Укажем связь между размерными и безразмерными величинами:  $W' = RC^2 P^2 H^2 W$ ,  $T' = (H/G)^{1/2} T$ ,  $Q' = RC^2 P^2 H^2 (H/G)^{1/2} Q$ ,  $t' = (H/G)^{1/2} t$ ,  $r'' = Gr''$ ,  $r' = (HG)^{1/2} r$ ,  $r' = Hr$ ,  $\rho_i' = H\rho_i$ ,  $l_i' = Hl_i$ ,  $h_i' = Hh_i$ ,  $x_m' = Hx_m$ ,  $M_{ji}' = PHM_{ji}$  ( $j = 1, 3$ ;  $i = 1, n$ ;  $m = 1, k$ ).

Уравнения движения (1.1) запишем в виде

$$\Sigma N_i = r'' + e_3, \quad \Sigma N_i A_i = 0 \quad (2.1)$$

где  $A_i$  — матрицы  $3 \times 3$ , элементы которых составлены из координат вектора  $\rho_i$ ,  $e_3 = (0, 0, 1)$ .

Моменты внешних нагрузок определим из соотношений [1]:

$$M_{1i} = r_i [e_3 \times N_i]^T, \quad M_{2i} = r_i [n_i \times N_i]^T, \quad M_{3i} = l_i [n_i \times N_i]^T \quad (2.2)$$

где  $r_i = h_i + l_i$  — вектор, направленный из точки подвеса в точку опоры  $i$ -й ноги,  $n_i$  — единичный вектор, перпендикулярный плоскости ноги ( $i = 1, n$ ) (фиг. 1); индекс  $T$  означает транспонирование.

Запишем уравнения (2.2) в матричном виде:  $M_i = (M_{1i}, M_{2i}, M_{3i}) = N_i \delta_i$ , где  $\delta_i$  — матрицы  $3 \times 3$ , элементы которых зависят от координат центра масс аппарата, параметров корпуса и ног, координат точек опоры.

Элементы матрицы  $\delta_i$  вырождаются, когда вектор  $r_i$  коллинеарен вектору ускорения свободного падения (точка опоры расположена под точкой подвеса) или когда нога полностью согнута или выпрямлена в коленном шарнире ( $\sin \alpha_{3i} = 0$ ). В дальнейшем будем предполагать, что во все времена движения ни одно из перечисленных условий вырождения матриц  $\delta_i$  ( $i = 1, n$ ) не выполняется.

Для определения  $r$  и реакций в точках опоры получим следующую задачу Лагранжа [6]:

$$Q = \int_0^T W[r(t), N_1(t), \dots, N_n(t)] dt \rightarrow \min_{r, N_1, \dots, N_n} \quad (2.3)$$

с дифференциальной связью и ограничениями на управления  $N_1, N_2, \dots, N_n$  в виде равенств (2.1), а также краевыми условиями:

$$t=0: r=a, r' = v \quad (2.4)$$

$$t=T: r=a+e_1, r' = v$$

где  $e_1 = (1, 0, 0)$ ,  $a^1 = (a_1, a_2, a_3)$ ,  $v = (v_1, v_2, v_3)$  — заданные величины.

Функция  $W = \Sigma N_i \delta_i^{-1} (N_i \delta_i^{-1})^T$  — положительно-определенная квадратичная форма относительно реакций. При значениях  $x$ , задающих моменты смены состава опорных ног, функция  $W$  терпит разрывы первого рода из-за того, что замена одного опорного многоугольника другим предполагается мгновенной.

3. Для каждого фиксированного момента времени задача (2.3) поиска реакций  $N_i$ , удовлетворяющих ограничениям (2.1), представляет собой задачу выпуклого программирования [6] и имеет следующее решение:

$$N_i = u \Delta^{-1} D_i \delta_i \quad (3.1)$$

$$D_i = \delta_i^T - (\Sigma \delta_j^T \delta_j A_j) (\Sigma A_j^T \delta_j^T \delta_j A_j)^{-1} A_j^T \delta_j^T$$

$$\Delta = \Delta(r) = \Sigma D_i D_i^T \quad (3.2)$$

$$u = r'' + e_3 \quad (3.3)$$

Из представления матрицы  $\Delta$  в виде (3.2) следует, что она является неотрицательной симметрической матрицей. Аналогично доказательству критерия Сильвестра можно показать [7], что в случае расположения точек опоры ног не на прямой матрица  $\Delta$  определена строго положительно. Поэтому, чтобы избежать вырождения матрицы  $\Delta$ , точки опоры будем выбирать так, чтобы не все из них принадлежали одной прямой.

Подставим в выражение для минимизируемого функционала (2.3) оптимальное распределение реакций (3.1). После преобразований получим следующую задачу относительно  $\mathbf{r}$ :

$$Q = \int_0^T \mathbf{u} \Delta^{-1} \mathbf{u}^T dt \rightarrow \min_{\mathbf{r}}$$

При этом функция  $\mathbf{r}$  должна удовлетворять краевым условиям (2.4), а вектор  $\mathbf{u}$  задается соотношением (3.3).

Экстремали сформулированной задачи удовлетворяют уравнениям Эйлера  $d^2(2\mathbf{u}\Delta^{-1})/dt^2 = \mathbf{f}$ ,  $\mathbf{f} = \text{grad}_{\mathbf{r}}(\mathbf{u}\Delta^{-1}\mathbf{u}^T)$ .

Для численного построения экстремалей  $\mathbf{r} = \mathbf{r}(t)$  используем метод последовательных приближений Пикара [8]. Уравнение Эйлера представим в интегральной форме ( $\eta_1$  и  $\eta_2$  — постоянные интегрирования):

$$\mathbf{u} = -\frac{1}{2} \Delta \left[ \int_0^T \mathbf{f}(\tau) (t-\tau) d\tau + (T-t) \eta_1 + \eta_2 \right] \quad (3.4)$$

С учетом краевых условий (2.4) для момента времени  $t=0$  запишем уравнения (3.3) в виде

$$\mathbf{r} = \mathbf{a} + \mathbf{v}t - \frac{1}{2} \mathbf{e}_3 t^2 + \int_0^T \mathbf{u}(\tau) (t-\tau) d\tau \quad (3.5)$$

Из оставшихся краевых условий и зависимостей (3.5) найдем

$$\mathbf{v}T - \frac{1}{2} \mathbf{e}_3 T^2 + \int_0^T \mathbf{u}(\tau) (T-\tau) d\tau = \mathbf{e}_1, \quad \int_0^T \mathbf{u}(\tau) d\tau = T\mathbf{e}_3$$

После подстановки в эти формулы вместо  $\mathbf{u}$  его выражения из (3.4) получим следующую систему уравнений для определения постоянных векторов  $\eta_1, \eta_2$ :

$$\eta B + \mathbf{b} = 0, \quad \eta = (\eta_1, \eta_2), \quad \mathbf{b} = (\mathbf{b}_1, \mathbf{b}_2)$$

$$B = \int_0^T \left\| \begin{array}{cc} (T-t)^2 \Delta & (T-t) \Delta \\ (T-t) \Delta & \Delta \end{array} \right\| dt \quad (3.6)$$

$$\mathbf{b}_1 = 2\mathbf{e}_1 + T^2 \mathbf{e}_3 + \int_0^T \left[ \int_0^t \mathbf{f}(\tau) (t-\tau) (T-t) \Delta d\tau \right] dt - 2T\mathbf{v}$$

$$\mathbf{b}_2 = 2T\mathbf{e}_3 + \int_0^T \left[ \int_0^t \mathbf{f}(\tau) (t-\tau) \Delta d\tau \right] dt, \quad \Delta = \Delta[\mathbf{r}(t)]$$

Из определения матрицы  $B$  в силу неравенства Коши — Буняковского следует, что для всякого вектора  $\xi = (\xi_1, \xi_2)$  с линейно независимыми векторами  $\xi_1$  и  $\xi_2$  в качестве компонент выполняется строгое неравенство

$$\begin{aligned} \xi B \xi^T &= \int_0^T [\xi_1 \Delta \xi_1^T (T-t)^2 + 2\xi_1 \Delta \xi_2^T (T-t) + \xi_2 \Delta \xi_2^T] dt > \\ &> \int_0^T [(\xi_1 \Delta \xi_1^T)^{1/2} (T-t) - (\xi_2 \Delta \xi_2^T)^{1/2}]^2 dt \geq 0 \end{aligned}$$

Но и в случае линейной зависимости  $\xi_1$  и  $\xi_2$ , если  $\xi_1 \neq 0$ ,  $\beta = \text{const}$ ,  $\xi_2 = \beta \xi_1$ , будем иметь

$$\xi B \xi^T = \int_0^T \xi_1 \Delta \xi_1^T (T-t+\beta)^2 dt > 0$$

Следовательно, матрица  $B$  определена строго положительно и  $\eta = -bB^{-1}$ . Таким образом, если известно  $m$ -е приближение  $r^{(m)} = r^{(m)}(t)$ ,  $u^{(m)} = u^{(m)}(t)$ , то по формулам (3.4) и (3.5) можно построить следующее приближение, предварительно вычислив постоянные вектор  $b$ , матрицу  $B$  и вектор  $\eta = (\eta_1, \eta_2)$  по соотношениям (3.6) и  $\eta = -bB^{-1}$ .

4. Предположим, что аппарат имеет шесть одинаковых ног и может перемещаться походкой трешки или походкой галоп [1] по горизонтальной плоскости, совпадающей с плоскостью  $OXY$  системы координат  $OXYZ$ . Точки подвеса ног лежат в одной плоскости и расположены по двум сторонам прямоугольника, параллельным оси  $OX$  во все время движения. Для ног одной стороны следовые колеи, представляющие собой прямые линии, совпадают, а расстояния между точками подвеса, так же как и между опорными точками, — одинаковы. Следовые колеи левой и правой сторон параллельны оси  $OX$  и расположены по обе стороны от нее на одинаковом расстоянии.

Для используемого здесь численного метода существенное значение имеет выбор начального приближения, а также краевых условий: опорного многоугольника и векторов  $a$  и  $v$ , т. е. того состояния, в которое аппарат должен неизменно возвращаться через период безразмерного времени  $T$ .

Рассмотрим опорный прямоугольник, в котором точки опоры расположены симметрично, как показано на фиг. 2. Положение шагающего аппарата, при котором центр масс расположен над точкой пересечения диагоналей указанного опорного прямоугольника, а все точки подвеса одинаково удалены от плоскости  $OXY$ , будем называть стандартной конфигурацией. Из соображений симметрии естественно ожидать, что в этом положении для оптимальных режимов движения центра масс вектор скорости  $r$  будет коллинеарен оси  $OX$ .

Первое приближение метода Пикара задавалось формулами:

$$u_1 = 6(v_1 T - 1)(2t - T)/T^3, \quad u_2 = 0, \quad u_3 = 1 \quad (4.1)$$

$$x = (v_1 T - 1)(2t - 3T)t^2/T^3 + tv_1, \quad y = 0, \quad z = a_3$$

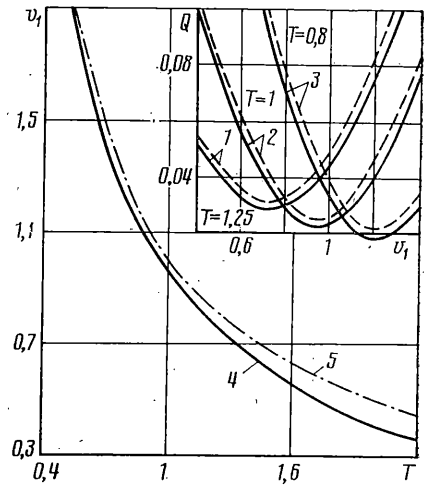
что соответствует при  $v_1 = 1/T$  равномерному и прямолинейному движению, энергетика которого исследовалась в [9, 10]. За начало (конец) шагового цикла была принята стандартная конфигурация. Числовые значения безразмерных параметров были выбраны следующим образом:  $r(0) = a = (0; 0; 0, 14)$ ,  $v_2 = v_3 = 0$ . Координаты точек подвеса  $O_i$  и соответствующих точек опоры ног  $F_i$  ( $i=1,6$ ) в стандартной конфигурации при  $t=0$ :  $O_1(1; 1; a_3)$ ,  $O_2(1; -1; a_3)$ ,  $O_3(0; 1; a_3)$ ,  $O_4(0; -1; a_3)$ ,  $O_5(-1; 1; a_3)$ ,  $O_6(-1; -1; a_3)$ ,  $F_1(1; 1,3; 0)$ ,  $F_2(1; -1,3; 0)$ ,  $F_3(0; 1,3; 0)$ ,  $F_4(0; -1,3; 0)$ ,  $F_5(-1; 1,3; 0)$ ,  $F_6(-1; -1,3; 0)$ . Длина голени  $l_i = 1,15$ , длина бедра  $h_i = 1$  ( $i=1,6$ ). Смена опорных многоугольников осуществлялась при  $x = x_j$ , где  $j=1,4$ :  $x_1 = 0,33$ ;  $x_2 = 0,4$ ;  $x_3 = 0,6$ ;  $x_4 = 0,67$  — для походки трешки и  $j=1,6$ :  $x_1 = 0,2$ ;  $x_2 = 0,35$ ;  $x_3 = 0,45$ ;  $x_4 = 0,55$ ;  $x_5 = 0,65$ ;  $x_6 = 0,8$  — для походки галоп.

Оптимальные режимы движения центра масс строились численно для различных фиксированных значений двух безразмерных параметров: периода походки  $T$  и компоненты  $v_1$  скорости аппарата в стандартной конфигурации.

Процесс построения последовательных приближений завершался, когда абсолютная величина разности значений тепловых потерь  $Q$  для двух соседних приближений не превышала заданной точности. При этом тепло-

вые потери снижались на 30–40% в сравнении с первым приближением (4.1).

На фиг. 3 показано изменение тепловых потерь  $Q$  оптимальных режимов движения в зависимости от параметра  $v_1$  для различных значений  $T$  (кривые 1–3). При этом сплошные кривые соответствуют походке трешки, а штриховые — походке галоп. Видно, что каждому значению периода  $T$  соответствует оптимальная скорость  $v_1 = v_1^\circ(T)$ , при которой потери  $Q$  минимальны. С уменьшением  $T$  уменьшается и минимум  $Q$ . Отметим также, что значение  $v_1^\circ$  (кривая 4) несколько меньше средней скорости  $1/T$  (кривая 5) и одинаково для обеих походок.



Фиг. 3

С точки зрения рассматриваемого здесь критерия качества наибольший интерес представляют оптимальные режимы движения со значениями параметра  $v_1 \approx v_1^\circ$ . Далее дается описание характерных особенностей таких движений. Приведены графики проекций ускорения и скорости центра масс шагающего аппарата на оси  $OX$  и  $OZ$  в зависимости от координаты  $x$  в пределах одного шага. Перемещения центра масс вдоль оси  $OY$  оказываются незначительными, так как  $\max_x |z''| \sim \max_x |x''| \sim 10^2 \max_x |y''|$ . Графики, относящиеся к походке галоп, изображены на фиг. 4, к походке трешки, — на фиг. 5.

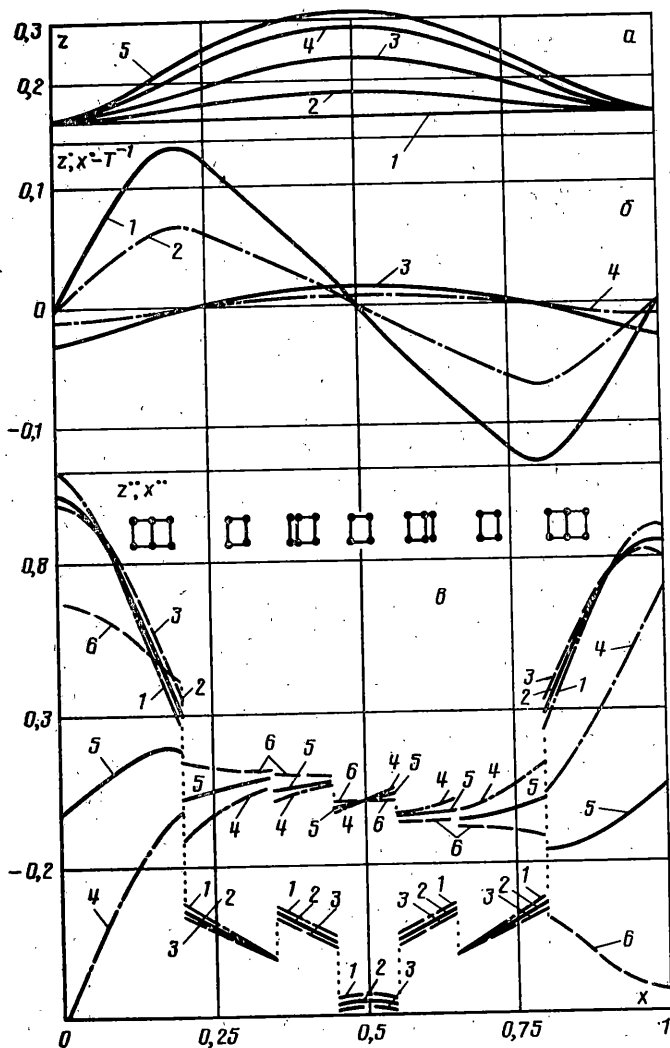
На фиг. 4, а и 5, а изображены траектории движения центра масс в вертикальной плоскости. Вид этих траекторий существенно зависит от периода  $T$ . Кривая 1 рассчитана для  $T=0,2$  ( $v_1=5$ ), 2 —  $T=1$  ( $v_1=0,97$ ), 3 —  $T=1,6$  ( $v_1=0,525$ ), 4 —  $T=2$  ( $v_1=0,4$ ), 5 —  $T=2,2$  ( $v_1=0,25$ ). Все траектории имеют максимум высоты, который приходится на середину шага. При малых  $T$  центр масс практически остается на одной высоте и движение близко к прямолинейному, с увеличением  $T$  максимум высоты растет.

Рассмотрим графики скорости  $z'$  (фиг. 4, б, 5, б, кривые 1, 2) и отклонения скорости  $x'$  от ее среднего значения  $1/T$  (фиг. 4, б, 5, б, кривые 3, 4). Сплошные кривые получены при  $T=1$ ;  $v_1=0,97$ , а штрихпунктирные — при  $T=0,5$ ;  $v_1=1,99$ . Максимум горизонтальной скорости приходится на фазы с наименьшим числом ног в опоре, а минимум — на положения вблизи стандартной конфигурации. При этом, чем ближе значение параметра  $v_1$  к  $v_1^\circ$ , тем ближе минимум скорости  $x'$  к скорости в стандартной конфигурации.

На фиг. 4, в и 5, в приведены графики вертикального (кривые 1–3) и горизонтального (кривые 4–6) ускорений для  $v_1=2,03 > v_1^\circ$  (штрихпунктирные линии),  $v_1=1,99 \approx v_1^\circ$  (сплошные линии) и  $v_1=1,95 < v_1^\circ$  (штриховые линии) при  $T=0,5$ . Разрывы кривых соответствуют моментам смены состава опорных ног. Над графиками схематично изображены опорные многоугольники.

Видно, что максимальные разгоны и торможения аппарата в горизонтальном направлении происходят вблизи стандартной конфигурации. При этом, чем значение параметра  $v_1$  ближе к  $v_1^\circ$ , тем меньше  $\max_x |x''|$ . Максимальные ускорения в вертикальном направлении также приходятся на положения аппарата в стандартной конфигурации. Минимального значения  $z''$  достигает тогда, когда в фазе опоры состоит наименьшее число ног для данной походки.

В целом, аппарат как бы стремится задержаться вблизи стандартной конфигурации, чтобы с большей скоростью и с небольшими значениями суммы опорных реакций преодолеть участки с меньшим числом ног в опоре.

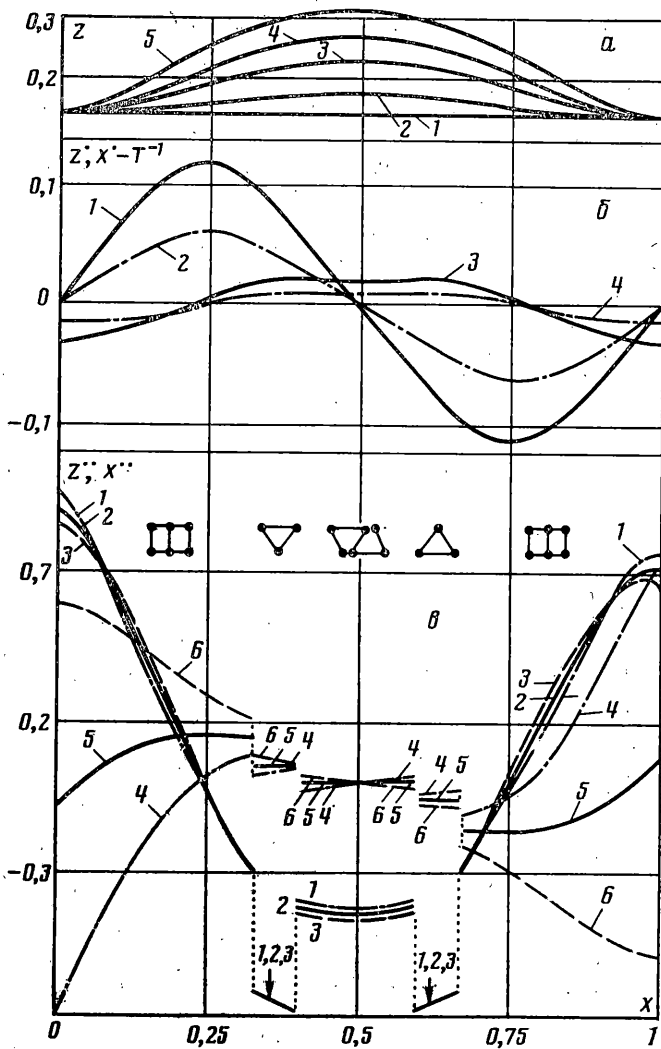


Фиг. 4

Для реализации какого-либо движения шагающего аппарата необходимо, чтобы реакции в опорах ног не выходили за конусы трения. В этом смысле предпочтительным является тот режим движения, для которого требуемый коэффициент трения (минимальный коэффициент трения, достаточный для осуществления заданного движения аппарата) меньше. Зависимость требуемого коэффициента трения от параметра  $v_1$ , как и зависимость тепловых потерь  $Q$  от  $v_1$  (фиг. 3), имеет параболический вид. Для оптимальных режимов требуемый коэффициент трения будет минимальным при  $v_1 \approx v_1^0$ . Ниже приведены значения требуемых коэффициентов трения походки трешки  $K_1$  и походки галоп  $K_2$  для различных значений параметров  $T$  и  $v_1 \approx v_1^0$ . Для сравнения отметим, что коэффициент сцепления шин автомобиля с сухим булыжным покрытием составляет 0,4–0,7, а с сухим бетонным или асфальтовым покрытием — 0,5–0,8 [11]:

$T$	0,50	0,80	1,00	1,25	1,60	2,00
$v_1$	1,97	1,20	0,95	0,7	0,55	0,45
$K_1$	0,40	0,38	0,37	0,36	0,35	0,35
$K_2$	0,41	0,40	0,39	0,37	0,35	0,32

Проиллюстрируем полученные решения на конкретных задачах. Примем  $G=9,8$  м/с<sup>2</sup>, длину шага  $H=2$  м, а безразмерное время его выполнения  $T=1$ . В соответствии с кривой 3 на фиг. 4, б и 5, б скорость аппарата в направлении движения  $x'^2$  будет изменяться от 4,28 до 4,50 м/с. Среднее значений этой скорости  $v_* \approx 4,42$  м/с. Диапазон изменения скорости по вер-



Фиг. 5

тикали  $z''$  составляет от  $-0,55$  до  $0,55$  м/с (см. фиг. 4, б и 5, б, кривые 1). Колебания центра масс в вертикальном направлении будут около  $0,1$  м:  $0,28 \text{ м} \leq z' \leq 0,35 \text{ м}$  (см. фиг. 4, а, 5, а, кривые 2).

Если  $T=2$ , т. е. аппарат должен двигаться в два раза медленнее, то аналогичным способом получим:  $1,78 \text{ м/с} \leq x'' \leq 2,50 \text{ м/с}$ ;  $v_* \sim 2,22 \text{ м/с}$ ;  $-0,97 \text{ м/с} \leq z'' \leq 0,97 \text{ м/с}$ ,  $0,28 \text{ м} \leq z' \leq 0,54 \text{ м}$ . Диапазоны изменения составляющих скорости при этом значительно возрастают, а колебания центра масс по вертикали составляют  $0,25$  м.

На основании проведенных численных исследований можно сделать следующие выводы о режимах движения, отвечающих минимальным тепловым потерям в электрических приводах ног.

Прямолинейное и равномерное движение не является энергетически оптимальным.

Оптимальные траектории движения имеют один максимум высоты, приходящийся на половину горизонтального расстояния между положениями центра масс в соседних стандартных конфигурациях. Этот максимум высоты растет с увеличением периода походки.

Каждому значению периода походки соответствует некоторое оптимальное значение  $v_1^\circ$  скорости аппарата  $v_1$  в стандартной конфигурации, при котором тепловые потери минимальны. Скорость  $v_1^\circ$  характеризуется также тем, что при  $v_1 \approx v_1^\circ$  требуемый коэффициент трения принимает практически вполне реализуемое значение, близкое к минимальному по



сравнению с оптимальными режимами, соответствующими другим значениям  $v_1$ .

Наиболее выгодными являются такие законы движения, при которых максимальные ускорения аппарата приходятся на моменты наибольшей симметрии в конфигурации ног и в расположении центра масс по отношению к опорным точкам и особенно, когда в состоянии опоры находится максимальное число ног. Такие фазы преодолеваются с минимальной горизонтальной скоростью. В фазах с минимальным числом ног в опоре для данной походки движение должно соответствовать наименьшим значениям суммы опорных реакций. При этом горизонтальная скорость максимальна. С увеличением периода походки диапазон между минимальной и максимальной скоростями возрастает.

#### ЛИТЕРАТУРА

1. *Охоцимский Д. Е., Голубев Ю. Ф.* Механика и управление движением автоматического пагающего аппарата. М.: Наука. 1984. 310 с.
2. *Костенко М. П., Пиотровский Л. М.* Электрические машины. Ч. 1. М.: Энергия. 1964. 548 с.
3. *Бугковский А. Г., Черкашин А. Ю.* Оптимальное управление электромеханическими устройствами постоянного тока. М.: Энергия. 1972. 111 с.
4. *Платонов А. К., Кукушев Е. И., Ярошевский В. С.* Уравнения движения электромеханического привода для робототехнических систем // Информационные и управляющие системы роботов/Под ред. Д. Е. Охоцимского. М.: Ин-т прикл. математики АН СССР. 1982. С. 38-45.
5. *Андреев В. П., Сабинин Ю. Л.* Основы электропривода. М.: Л.: Госэнергоиздат. 1963. 772 с.
6. *Алексеев В. М., Тихомиров В. М., Фомин С. В.* Оптимальное управление. М.: Наука. 1979. 429 с.
7. *Воеводин В. В.* Линейная алгебра. М.: Наука. 1974. 336 с.
8. *Демидович Б. П., Марон И. А., Шувалова Э. З.* Численные методы анализа. Приближение функций, дифференциальные уравнения. М.: Физматгиз. 1962. 367 с.
9. *Александров А. М., Зацепин М. Ф., Новожилов И. В., Тубеев Ш. Х.* К оценке энергетических затрат на ходьбу шестиногого пагающего аппарата // Тр. Моск. энерг. ин-та. 1981. Вып. 515. С. 3-9.
10. *Охоцимский Д. Е., Платонов А. К., Лапшин В. В.* Исследование энергетики движения шестиногого пагающего аппарата: Препринт № 123. М.: Ин-т прикл. матем. АН СССР. 1981. 27 с.
11. *Крагельский И. В., Виноградова И. Э.* Коэффициенты трения. М.: Mashiz. 1955. 188 с.

Москва

Поступила в редакцию  
3.III.1986